

13. Nayler W. G., Elz J. S. Reperfusion injury: laboratory artifact or clinical dilemma? // Circulation. — 1986. — 74, N 2. — P. 215—221.
14. Otani H., Engelman R. M., Rousou J. A. et al. Cardiac performance during reperfusion improved by pretreatment with oxygen free—radical scavengers // J. Thorac. Cardiovasc. Surg. — 1986. — 91, N 2. — P. 290—295.
15. Taegtmeyer H., Roberts A. F. C., Raine A. E. G. Energy metabolism in reperfused heart muscle: metabolic correlates to return of function // J. Amer. Coll. Cardiol. — 1985. — 6. — P. 864—870.
16. Yamazaki S., Fujibayashi Y., Rajagopalan R. E. et al. Effects of staged versus sudden reperfusion after acute coronary occlusion in the dog // 1986. — 7. — P. 564—572.

Науч.-исслед. ин-т эксперим.

кардиологии Всесоюз. кардиол. центра

Материал поступил в редакцию 09.03.90 г.

АМН СССР, Москва

тамата (1 м спинной мозг солатеральне (5 мг/кг) и жения стимулирование В 6,0 мм ростралатеральное раздражение [5, 8], живо мин (5 мг/кг) реополиглюкоЙВМ РС.

Результаты и

Стимуляция внутрижелтуры в точке введение на каудальности дражении спина больше при стороны, а (48% ± 4%).

линии быстрый период (2,5 ± 0,2) с.

Погружение к укорочению достигали на 4,0 мм рострально. Прирост ЧС накло ЛП из «+4,0» и со

Таблица 1.
электрической
в условиях блокады

Показатель

Частота сердечных сокращений, ми/мин
Скорость нарастания внутрижелтурового давления, мм рт. ст./с

Частота сердечных сокращений, ми/мин
Скорость нарастания внутрижелтурового давления, мм рт. ст./с

Примечани

Физиол. журн.

Значение симпатоактивирующих структур вентролатеральной области продолговатого мозга в регуляции деятельности сердца

Факты об участии бульбарных структур в симпатической регуляции деятельности сердца получены относительно давно [14, 16]. Охлаждение вентролатеральных областей продолговатого мозга (ВЛПМ) приводит к снижению частоты сердечных сокращений (ЧСС) на 30%. Этого не наблюдается после предварительной блокады β-адренорецепторов обzendаном. Стимуляция некоторых точек ВЛПМ (2,0 и 4,0 мм ростральное раздражение мозга в точке 4,0 мм ростральное референтного уровня, 4,0 мм латеральное средней линии и на 0,5—2,0 мм вглубь от вентральной поверхности продолговатого мозга (ВППМ) [10, 13]. Однако в проведенных исследованиях оценивали в основном реакции САД, а изменения деятельности сердца не анализировали.

Цель нашей работы — изучение роли различных областей ВЛПМ в осуществлении симпатоактивирующих влияний на деятельность сердца.

Методика

Опыты проведены на 48 беспородных кошках массой (3,1 ± 0,5) кг под хлоралозо-нембуталовым наркозом (40 и 10 мг/кг, внутривенно). У животных производили трахеостомию, введение катетеров в бедренную вену и общие сонные артерии. Выделение сердечных ветвей звездчатого ганглия (ЗГ), регистрацию их электрической активности и параметров деятельности сердца осуществляли, как описано ранее [2]. Доступ к ВППМ производили склеротизацией ската затылочной кости после предварительного удаления горлани, глотки с языком и глубоких мышц шеи. При необходимости ламинэктомией обнажали спинной мозг в области сегментов C₁—C₈ и T₈—T₁₀. Животное обездвиживали миорелаксантами и переводили на искусственное дыхание. Локальное раздражение ВЛПМ (0,2—0,5 мс, 100 Гц, 5—30 мА, 30 с) осуществляли биполярными вольфрамовыми электродами (100—150 мкм). Химическую стимуляцию ВЛПМ производили микронъекциями (100—120 нл) глу-

© А. Х. КАДЕ, 1991.

тамата (1 моль/л, pH 7,4—7,8). В части опытов кошкам перерезали спинной мозг ультразвуковым скальпелем УЗХ-201, стимулировали дорсолатеральный канатик (ДЛК) спинного мозга, вводили фентоламин (5 мг/кг) и гексаметоний (1 мл 2,5%-ного раствора). Место расположения стимулирующих электродов верифицировали гистологически. Сакционирование ВЛПМ с шагом 1 мм производили от 2,0 мм каудальнее до 6,0 мм ростральнее корешков XII пары (нулевой уровень); 3,0—4,0 мм латеральнее средней линии и до 4,0 мм вглубь от ВППМ. Поскольку раздражение ВППМ сопровождается значительным повышением САД [5, 8], животным предварительно вводили α -адреноблокатор фентоламин (5 мг/кг). Уровень САД поддерживали внутривенным вливанием реополиглюкина. Статистическую обработку результатов проводили на IBM PC.

Результаты и их обсуждение

Стимуляция ВППМ вызывает увеличение ЧСС и скорости нарастания внутрижелудочкового давления (dp/dt_{max}) при воздействии на структуры в точках, расположенных ростральнее нулевого уровня. Воздействие на каудальнее расположенные структуры вызывает торможение деятельности сердца (табл. 1). При этом в характере ответов при раздражении справа и слева наблюдалась асимметрия. Прирост ЧСС был больше при раздражении правой (16% \pm 3%), чем левой (5% \pm 1%) стороны, а dp/dt_{max} более выражен слева (54% \pm 5%), чем справа (48% \pm 4%). При раздражении нервных образований справа от средней линии быстрее наступали изменения ЧСС, а слева — dp/dt_{max} . Латентный период (ЛП) увеличения ЧСС составлял (1,97 \pm 0,02) с, dp/dt_{max} — (2,5 \pm 0,2) с.

Погружение стимулирующих электродов вглубь от ВППМ приводило к укорочению ЛП и возрастанию ответов. Максимума эффекты достигали на нулевом уровне (точка «0») и в точке, расположенной на 4,0 мм ростральнее (точка «+4,0»), на глубине 1,0—2,0 мм от ВППМ. Прирост ЧСС и dp/dt_{max} в этих точках достоверно не отличались. Однако ЛП изменений ЧСС был значительно короче (на 58%) в точке «+4,0» и составлял (0,59 \pm 0,06) с, в точке «0» — (1,02 \pm 0,1) с.

Таблица 1. Прирост показателей, характеризующих хроно- и инотропные эффекты электрической стимуляции вентролатеральной области продолговатого мозга (ВЛПМ) в условиях блокады α -адренорецепторов фентоламином ($M \pm m$)

Показатель	Во время электростимуляции ВЛПМ					
	До электростимуляции ВЛПМ		в точке «0»		в точке «+4,0»	
	с правой стороны	с левой стороны	с правой стороны	с левой стороны	с правой стороны	с левой стороны
Без введения фентоламина						
Частота сердечных сокращений, мин ⁻¹	174 \pm 3	191 \pm 5	30 \pm 2	22 \pm 4	31 \pm 4	1 \pm 3
Скорость нарастания внутрижелудочкового давления, мм рт. ст./с	1970 \pm 62	2337 \pm 65	1581 \pm 114	1993 \pm 121	1410 \pm 103	1874 \pm 109
После введения фентоламина						
Частота сердечных сокращений, мин ⁻¹	209 \pm 5	215 \pm 7	45 \pm 7	19 \pm 4	48 \pm 9	16 \pm 5
Скорость нарастания внутрижелудочкового давления, мм. рт. ст./с	2634 \pm 74	2776 \pm 76	1780 \pm 125	2661 \pm 198	1795 \pm 186	2664 \pm 201

Примечание. Здесь и далее в табл. 2 и 3 $P < 0,05$.

Укорочение ЛП для сдвигов ЧСС при погружении электродов достигало 39% первоначальной длительности в точке «0» и 72% — в точке «+4,0». Для изменений dh/dt_{max} ЛП был короче на 39 и 35% соответственно. Прирост ЧСС составлял $21\% \pm 2\%$ при воздействии на структуры, расположенные справа, и $9\% \pm 1\%$ — слева; dp/dt_{max} — 68 ± 1 и $96\% \pm 4\%$ соответственно (см. табл. 1). Следовательно, асимметрия ответов со стороны dp/dt_{max} при раздражении глубже лежащих структур значительно возрасала.

В контрольных экспериментах описанные локусы ВЛПМ стимулировали без предварительного введения фентоламина (см. табл. 1). Характер ответов не изменился. Отмечалось лишь некоторое уменьшение прироста ЧСС (на $4\% \pm 1\%$) и dp/dt_{max} (на $13\% \pm 2\%$). Это связано скорее всего с барорефлекторными влияниями, так как САД возрастало во время раздражения в среднем на (96 ± 10) мм рт. ст.

Достоверные изменения ЛП наблюдались только для dp/dt_{max} при раздражении точки «+4,0» слева. Он укорачивался на 58%. Возможное объяснение описанного факта связано с наличием α -адренорецепторов на спинальных преганглионарных нейронах (СПН) [18], через которые катехоламины повышают возбудимость нейронов и их способность генерировать пачки импульсов [19]. Эти СПН локализованы в интермедиолатеральной (ИМЛ) области спинного мозга и реализуют в основном инотропные влияния на сердце [2].

Для выяснения возможного участия надпочечников в этих реакциях производили полную перерезку спинного мозга на уровне T_8-T_{10} . При стимуляции ВЛПМ у этих животных справа прирост ЧСС был таким же, как до перерезки спинного мозга (см. табл. 1). Прирост dp/dt_{max} снижался, причем более значительно при стимуляции структур в точке «0» (на $20\% \pm 2\%$), чем в точке «+4,0» (на $14\% \pm 2\%$). Сдвиги ЧСС и dp/dt_{max} при раздражении этих точек слева уменьшались более значительно. Прирост dp/dt_{max} и ЧСС в точке «0» сокращался на 56 ± 3 и $6\% \pm 1\%$, а в точке «+4,0» — на 45 ± 2 и $7\% \pm 1\%$ соответственно (табл. 2). Следовательно, активация надпочечников вносит определенный вклад в повышение сократительной активности миокарда при стимуляции симпатоактивирующих областей ВЛПМ.

Для химической стимуляции нейронов производили микроинъекции глутамата в ВЛПМ. Химическое раздражение вызывало начальное увеличение ЧСС и dp/dt_{max} . Наблюдалась асимметрия ответов. Выраженность эффекта сопоставима с результатами стимуляции ВЛПМ после перерезки спинного мозга (табл. 3). Через 40–50 мин ЧСС и dp/dt_{max}

Таблица 2. Прирост показателей, характеризующих хроно- и инотропные эффекты электрической стимуляции вентролатеральной области продолговатого мозга (ВЛПМ) до и после перерезки спинного мозга — T_8-T_{10} ($M \pm m$)

Показатель	До электростимуляции ВЛПМ		Во время электростимуляции ВЛПМ			
			в точке «0»		в точке «+4,0»	
	с правой стороны	с левой стороны	с правой стороны	с левой стороны	с правой стороны	с левой стороны
До перерезки спинного мозга						
Частота сердечных сокращений, мин^{-1}	197 \pm 3	215 \pm 4	42 \pm 4	22 \pm 3	36 \pm 2	23 \pm 5
Скорость нарастания внутрижелудочкового давления, мм рт. ст./с	2446 \pm 98	2843 \pm 101	1572 \pm 118	2806 \pm 124	994 \pm 75	3042 \pm 131
После перерезки спинного мозга						
Частота сердечных сокращений, мин^{-1}	177 \pm 4	204 \pm 5	38 \pm 5	8 \pm 2	34 \pm 3	9 \pm 3
Скорость нарастания внутрижелудочкового давления, мм рт. ст./с	2812 \pm 81	2708 \pm 95	1235 \pm 98	1169 \pm 113	771 \pm 63	1677 \pm 120

снижались, изводили в $34\% \pm 4\%$, а не. Микрои снижение д, теральное $32\% \pm 3\%$, «+4,0» спра ходные зна (-14 ± 2 и ственно).

Таким никающие сходны с т глутамата с активацией расположены

Ответы в ка нижнесердечн вентролатераль мозга (a) и спинного мозга, кады проведе ганглии. Цен ровка — 100 м 10 мс.

нической ак женных в то

Изучени ляцию точеч анастомозе хроно- и ино раздражени тентного от (см. рисунок в точке «0» появляющих [7] отведени коротколате 6,1 м/с $\pm 0,5$ $\pm 0,3$ м/с). ная волна (ны показана

Таблица 3. химической стимуляции глутаматом (М

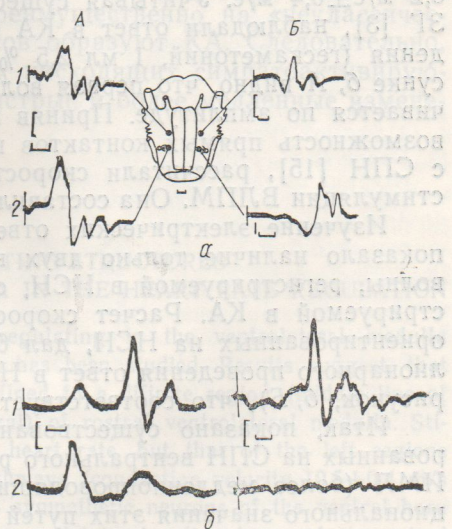
Показат

Частота сердечных сокращений, мин^{-1}
Скорость нарастания внутрижелудочкового давления, мм рт. ст.

снижались до значений, меньших исходных. Если микроинъекции производили в точках «0» и «+4,0» справа, падение ЧСС достигало $34\% \pm 4\%$, а сократительная способность оставалась на исходном уровне. Микроинъекции глутамата в аналогичные точки слева вызывали снижение dp/dt_{max} на $62\% \pm 5\%$, а ЧСС — только на $15\% \pm 1\%$. Биатеральное «выключение» точки «0» вызывало уменьшение ЧСС на $32\% \pm 3\%$, а dp/dt_{max} — на $47\% \pm 4\%$. Введение глутамата в точку «+4,0» справа и слева снижали исходные значения ЧСС и dp/dt_{max} (-14 ± 2 и $-20\% \pm 2\%$ соответственно).

Таким образом, эффекты, возникающие при стимуляции ВЛПМ, сходны с таковыми при инъекциях глутамата и, по-видимому, связаны с активацией нейронов. Нейроны, расположенные здесь, обладают то-

Ответы в каудальном анастомозе (A) и нижнесердечном нерве (B) на стимуляцию вентролатеральной области продолговатого мозга (a) и дорсолатерального канатика спинного мозга (б) до (1) и после (2) блокады проведения возбуждения в звездчатом ганглии. Число делений: на a 2 мм, калибровка — 100 мкВ и 10 мс, на б — 50 мкВ и 10 мс.



Изучение электрических ответов в сердечных нервах ЗГ на стимуляцию точек «0» и «+4,0» показало, что их структура в каудальном анастомозе и нижнесердечном нерве (КА и НСН), которые проводят хроно- и инотропные влияния к сердцу [2], различна (рисунок, a). При раздражении ВЛПМ силой, достаточной для появления коротколатентного ответа [7], в КА регистрировали трехкомпонентный ответ (см. рисунок, a). Однако необходимо отметить, что сила раздражения в точке «0» была вдвое больше, чем в точке «+4,0». Анализ ЛП волн, появляющихся в КА, показал (с учетом того, что у Красюкова и соавт. [7] отведение осуществляли от T_3-T_4), что вторая волна соответствует коротколатентному ответу. Скорость проведения для него составляет $6,1 \text{ м/с} \pm 0,5 \text{ м/с}$ [7], что совпадает с нашими результатами ($6,2 \text{ м/с} \pm 0,3 \text{ м/с}$). Кроме того, в ответе обнаруживалась более коротколатентная волна (см. рисунок, a, A). Возможность появления подобной волны показана ранее [6].

Таблица 3. Прирост показателей, характеризующих хроно- и инотропные эффекты химической стимуляции вентролатеральной области продолговатого мозга (ВЛПМ) глутаматом ($M \pm m$)

Показатель	До стимуляции ВЛПМ		Во время стимуляции ВЛПМ			
	с правой стороны	с левой стороны	в точке «0»	в точке «+4,0»	с правой стороны	с левой стороны
Частота сердечных сокращений, мин ⁻¹	188±6	187±6	25±3	6±2	26±2	14±3
Скорость нарастания внутрижелудочкового давления, мм рт. ст./с	2478±71	2957±94	479±56	1042±101	340±48	1019±89

Нисходящие симптоактивирующие пути от ВЛПМ проходят в ДЛК [7]. Представляло интерес определить реальную скорость проведения по ним путем переноса раздражающего электрода и сопоставить ее с предыдущими результатами. Исследования показали, что при стимуляции ДЛК в КА также регистрируется трехкомпонентный ответ (рисунок, б, А). Причем наибольшую амплитуду имела вторая волна. Скорости проведения для первых двух компонентов составили $10,2 \pm 0,3$ и $6,2 \text{ м/c} \pm 0,4 \text{ м/c}$. Учитывая существование путей, не прерывающихся в ЗГ [3], наблюдали ответ в КА после блокады ганглионарного проведения (гексаметоний, 1 мл 2,5 %-ного раствора, внутривенно). На рисунке б, А видно, что первая волна не только сохраняется, но и увеличивается по амплитуде. Приняв во внимание эти результаты, а также возможность прямых контактов нисходящих катехоламиновых волокон с СПН [15], рассчитали скорость проведения для первой волны при стимуляции ВЛПМ. Она составила $10,5 \text{ м/c} \pm 0,4 \text{ м/c}$.

Изучение электрических ответов в НСН на раздражение ВЛПМ показало наличие только двух волн (см. рисунок, а, Б). ЛП первой волны, регистрируемой в НСН, соответствует ЛП второй волны, регистрируемой в КА. Расчет скорости проведения в нисходящих путях, ориентированных на НСН, дал $6,4 \text{ м/c} \pm 0,4 \text{ м/c}$. После блокады ганглионарного проведения ответ в НСН на стимуляцию ДЛК исчезал (см. рисунок, б, Б), что соответствует полученным ранее данным [3].

Итак, показано существование двух нисходящих путей, ориентированных на СПН вентрального рога (более быстропроводящие) и СПН ИМЛ (более медленнопроводящие) спинного мозга. Для оценки функционального значения этих путей осуществляли раздражение ВЛПМ на фоне введения гексаметония. После его введения исходная ЧСС снижалась на $24\% \pm 2\%$ и dp/dt_{max} на $35\% \pm 3\%$ (табл. 4). Прирост ЧСС при стимуляции структур в точке «0» справа уменьшился на $11\% \pm 1\%$, а в точке «+4,0» — на $5\% \pm 1\%$. Раздражение этих точек слева было неэффективно.

Таким образом, результаты проведенных исследований показали, что в пределах ВЛПМ имеется две области (точки «0» и «+4,0»), где локализованы выходные симптоактивирующие нейроны, ориентированные на «сердечные» СПН. Точка «+4,0», кроме того, описана ранее [10, 13] как место локализации выходных симптоактивирующих нейронов, ориентированных на «сосудистые» СПН. Реакции, возникающие при раздражении точки «0», имеют более длительный ЛП. Нейроны, расположенные здесь, обладают более выраженной тонической актив-

Таблица 4. Прирост показателей, характеризующих хроно- и инотропные эффекты электрической стимуляции вентролатеральной области продолговатого мозга (ВЛПМ) до и после блокады проведения возбуждения в звездчатом ганглии ($M \pm m$)

Показатель	До электростимуляции ВЛПМ		Во время электростимуляции ВЛПМ			
			в точке «0»		в точке «+0,4»	
	с правой стороны	с левой стороны	с правой стороны	с левой стороны	с правой стороны	с левой стороны
До блокады проведения возбуждения						
Частота сердечных сокращений, мин ⁻¹	190±5	196±5	41±6	11±3	24±3	6±2
Скорость нарастания внутрижелудочкового давления, мм рт. ст./с	2943±83	3041±124	1649±118	2842±201	1147±94	2954±198
После блокады проведения возбуждения						
Частота сердечных сокращений, мин ⁻¹	173±4	173±3	19±3	0	14±2	0
Скорость нарастания внутрижелудочкового давления, мм рт. ст./с	2143±74	2712±78	0	0	0	0

ностью, и, проводящий путь ного мозга НСН и про ляции точек Локализованной тон (10,5 м/c±0,4 м/c) кие СПН можно говорящих систем, ния деятельности

A. Kh. Kade

SIGNIFICANCE
OF THE VEN-

Localization of
area participating
sympathoexcitatory
roots of XII nerve
mulation of the
elevates dp/dt_{max}
and 6.1±0.4 m/s
and sympathetic
cord.

Kuban Medical
of the RSFSR,

СПИСОК ЛИТЕРАТУРЫ

1. Каде А. Х. Сердечные рефлексы // Сердечные рефлексы. — С. 1981.— С. 1981.
2. Каде А. Х. Путевые рефлексы // Сердцу ученых. — С. 1981.
3. Каде А. Х. Проекции сердечных рефлексов // Сердечные рефлексы. — С. 1981.
4. Каде А. Х. Изменения симпатикотонуса в эксперименте // Сердечные рефлексы. — С. 1981.
5. Карцева А. М. Механизмы рефлексов // Сердечные рефлексы. — С. 1981.
6. Красюков В. С. Сходящиеся рефлексы // Сердечные рефлексы. — С. 1981.
7. Красюков В. С. Ветви рефлексов // Сердечные рефлексы. — С. 1981.
8. Лебедев В. Е. Нарастание тонуса вентролатеральной рога спинного мозга // Сердечные рефлексы. — С. 1981.
9. Лебедев В. Е. Структуры гемодинамической регуляции // Сердечные рефлексы. — С. 1981.
10. Лебедев В. Е. Активирующие рефлексы // Сердечные рефлексы. — С. 1981.
11. Покровский В. Е. Гемодинамическая регуляция сердечных рефлексов // Сердечные рефлексы. — С. 1981.

в ДЛК
ведения
ть ее с
стиму-
ет (ри-
на. Ско-
 $\pm 0,3$ и
зящихся в
прове-
На ри-
увели-
также
волокон
ны при

ВЛПМ
первой
ы, реги-
путях,
ы ганг-
иал (см.
[3]).
риенти-
и СПН
и функ-
ПМ на
снижа-
СС при
1%, а в
а было

оказали,
0»), где
ентиро-
а ранее
их ней-
кающие
нейроны,
актив-

эффекты
(ВЛПМ)

ЛПМ
 $\pm 0,4$
с левой
стороны

6±2

2954±198

0
0

37 № 1

ностью, и, по-видимому, выходят в основном через более медленнопроводящий путь ($6,2 \text{ м/с} \pm 0,3 \text{ м/с}$) на СПН, локализованные в ИМЛ спинного мозга и ориентированные на нейроны ЗГ. Их аксоны формируют НСН и проходят в КА [2]. Изменения деятельности сердца при стимуляции точки «+4,0» возникают со значительно более коротким ЛП. Локализованные в этой области нейроны обладают менее выраженной тонической активностью и через более быстропроводящий путь ($10,5 \text{ м/с} \pm 0,4 \text{ м/с}$) ориентированы преимущественно на «неклассические» СПН [4]. Аксоны этих нейронов образуют КА. Следовательно, можно говорить о существовании двух нисходящих симпатоактивирующих систем, обеспечивающих более быстрые и более медленные изменения деятельности сердца.

A. Kh. Kade

SIGNIFICANCE OF THE SYMPATHOACTIVATING STRUCTURES OF THE VENTROLATERAL MEDULLA AREA IN THE HEART RATE REGULATION

Localization of sympathoexcitatory neurons regulating in the ventrolateral medulla area participating in the heart rate regulation has been studied. Results suggest, that sympathoexcitatory neurons in the cat are confined to a definite region (middle line of roots of XII nerve and by 4.0 mm more rostral) of rostral ventrolateral medulla. Stimulation of these right regions increases the heart rate, but that of the left regions elevates dp/dt_{\max} . Their activity mediated pathways (conduction velocity $10.5 \pm 0.4 \text{ m/s}$ and $6.1 \pm 0.4 \text{ m/s}$) innervated of «nonclassical» sympathetic neurons of the ventral horn and sympathetic preganglionic neurons of intermediolateral cell column of the spinal cord.

Kuban Medical Institute, Ministry of Public Health
of the RSFSR, Krasnodar

СПИСОК ЛИТЕРАТУРЫ

1. Каде А. Х. Роль вентральных отделов продолговатого мозга в регуляции частоты сердечных сокращений // Нервная регуляция деятельности сердца. — Краснодар. — 1981. — С. 59—67.
2. Каде А. Х., Дудецкий В. И., Евглевский А. А. и др. Пре- и постгангионарные пути, проводящие центральные симпатические хроно- и инотропные влияния к сердцу у кошек // Физиол. журн. СССР. — 1987. — 73, № 5. — С. 651—661.
3. Каде А. Х., Перова Т. П., Евглевский А. А., Шубич М. Г. Локализация нейронов, проецирующихся через постгангионарные нервы звездчатого ганглия // Арх. анатомии, гистологии и эмбриологии. — 1988. — 45, № 10. — С. 22—25.
4. Каде А. Х., Перова Т. П., Шубич М. Г., Покровский В. М. Катехоламинсодержащие симпатические спинальные нейроны, иннервирующие сердце кошки // Бюл. эксперим. биологии и медицины. — 1989. — № 6. — С. 645—647.
5. Карцева А. Г., Верескун С. Б., Дмитриева А. В. Исследование кардиогемодинамических реакций при воздействии глицином на нейроны вентролатеральной области продолговатого мозга // Физиол. журн. — 1988. — 34, № 2. — С. 40—46.
6. Красюков А. В., Лебедев В. П., Каде А. Х., Никитин С. А. О неоднородности нисходящих путей, активирующих симпатические преганглионарные нейроны верхнегрудных сегментов // Физиол. журн. СССР. — 1983. — 69, № 4. — С. 520—527.
7. Красюков А. В., Лебедев В. П., Никитин С. А. Ответы в белых соединительных ветвях разных сегментов спинного мозга при стимуляции вентральной поверхности продолговатого мозга // Там же. — 1982. — 68, № 8. — С. 1057—1066.
8. Лебедев В. П., Красюков А. В., Никитин С. А. Изучение некоторых реакций сердечно-сосудистой системы и симпатоактивирующих эффектов при стимуляции структур вентральной поверхности продолговатого мозга // IV Всесоюз. симп. по центральной регуляции кровообращения. — Киев : Наук. думка. — 1981. — С. 71—74.
9. Лебедев В. П., Красюков А. В., Никитин С. А. О значении симпатоактивирующих структур вентролатеральной поверхности продолговатого мозга в вазомоторной регуляции // Физиол. журн. СССР. — 1984. — 70, № 8. — С. 1221—1231.
10. Лебедев В. П., Красюков А. В., Никитин С. А. Нейронная организация симпатоактивирующих структур вентролатеральной поверхности продолговатого мозга // Там же, № 6. — С. 761—772.
11. Покровский В. М., Каде А. Х. Организация различных уровней и эfferентных путей симпатической регуляции деятельности сердца // Центральные механизмы регуляции кровообращения. — Ашхабад : Ылым. — 1987. — С. 108—116.

12. Покровский В. М., Каде А. Х., Бердичевская Е. М., Чербикова Г. Е. Динамика угнетения сердечно-сосудистых рефлексов при охлаждении продолговатого мозга и некоторых областей коры больших полушарий // III Всесоюз. симп. по центральной регуляции кровообращения. — Волгоград. — 1977. — С. 92—94.
13. Ткаченко Б. И., Кульчицкий В. А., Савельев А. К. Пространственная ориентация структур вентральной поверхности продолговатого мозга на сосуды голени и тонкой кишки // Физiol. журн. СССР. — 1988. — 74, № 3. — С. 374—381.
14. Chen M. P., Lim R. K. S., Wang S.-C., Yi C.-L. On the question of a myelencephalic sympathetic centre // Chin. J. Physiol. — 1937. — 11, N 4. — P. 355—366.
15. Chiba T., Masuko S. Synaptic organization of the intermediolateral nucleus of the thoracic spinal cord: monoamine histochemistry and peptide immunohistochemistry // Histochem. and Cell. Biol. Nervous and Paraganglia. — Berlin, 1987. — P. 157—162.
16. Duchene-Marrulaz P., Arnould P. La localisation des centre cardioaccelerateur // J. Physiol. (Paris). — 1955. — 47, N 2. — P. 363—372.
17. Hanna B. D., Liov F., Polosa C. The effect of cold blockade of the medullary chemoreceptors on the CO_2 modulation of vasculare tone and heart rate // Can. J. Physiol. — 1979. — 57, N 5. — P. 460—468.
18. McCall R. B. Effects of putative neurotransmitters on sympathetic preganglionic neurons // Ann. Rev. Physiol. — 1988. — 50. — P. 553—564.
19. Nishi S., Yoshimura M., Polosa C. Effect of adrenaline on the electrical activities of lateral horn cells in cat spinal cord slices // Histochem. and Cell. Biol. Auton. Neurons and Paraganglia. — Berlin, 1987. — P. 345—349.
20. Wang Q., Li P. Stimulation of the ventrolateral medulla inhibits the baroreceptor input to the nucleus tractus solitarius // Brain Res. — 1988. — 473, N 2. — P. 227—235.

Кубан. мед. ин-т им. Красной Армии
М-ва здравоохранения РСФСР, Краснодар

Материал поступил
в редакцию 06.06.90

УДК 612.181.2:612.172

Л. Н. Шаповал, Л. С. Побегайло, В. Ф. Сагач

Исследование кардио- и гемодинамических реакций на введение ГАМК в нейронные структуры вентролатеральной области продолговатого мозга кошки

В нейронных структурах вентролатеральной области (ВЛО) продолговатого мозга, играющих существенную роль в регуляции кровообращения у животных различных видов [1—5, 7—15], выявлены участки с повышенной чувствительностью к гамма-аминомасляной кислоте (ГАМК). Билатеральная аппликация медиатора, его агонистов и антагонистов на вентральную поверхность продолговатого мозга [8, 9, 13, 15], а также их инъекции в нейронные структуры этой области [5, 7, 10, 12], сопровождались сдвигами уровня системного артериального давления (САД), частоты сердечных сокращений (ЧСС), симпатической активности в почечном нерве и влиянием на барорецепторный вазомоторный рефлекс. При этом направленность сдвигов в значительной мере определялась точкой приложения исследуемых веществ. В настоящее время накоплено определенное количество данных, свидетельствующих о функциональной гетерогенности нейронных структур ВЛО: ростральная часть играет важную роль в генерации базального симпатического тонуса и рефлекторной регуляции симпатического разряда к сердцу и сосудам [8, 11, 14], а в каудальной области размещены нейроны, активность которых снижает симпатический вазомоторный тонус [7, 10, 14].

Цель нашей работы — изучение особенностей кардио- и гемодинамических реакций, вызванных инъекциями ГАМК в нейронные структуры ростральной и каудальной ВЛО.

© Л. Н. ШАПОВАЛ, Л. С. ПОБЕГАЙЛО, В. Ф. САГАЧ, 1991.

Опыты про-
500 мг/кг,
ности прод-
после уда-
мышц шеи
ограничен-
XII черепн-
расстояния-
мые вещес-
и бикукул-
объеме 500
тором с ми-
300 мкм. В
В этих опы-
тилировали
эффектах 1
кого давле-
внутрижелу-
и расслаб-
давление (1
метрическо-
ния в лево-
лость лево-
пульсовым
ном нерве
ключенных
дения иссл
ле окончан
серийных с

Результаты

Инъекции ГАМК в видными тканями выраженные участки (0,1—0,5 мкм в участок в нервных тел, САД $P < 0,01$) сопровождались изменениями структуры, номозговых введением ГАМК в ядра решков XII нерва. САД: оно падало и гипертензивные области в течение небольшого периода времени превышала

Выражение ГАМК в не-
хода корешка в участок, сопро-
вождались сдвигом (рис. 1, б, 2)
шлась на 20%

Влияние ГАМК сократитель-

Физиол. журн.